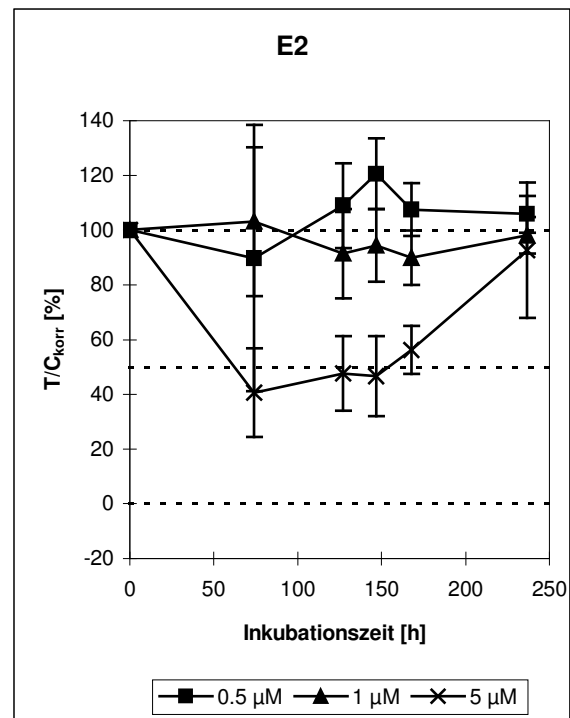
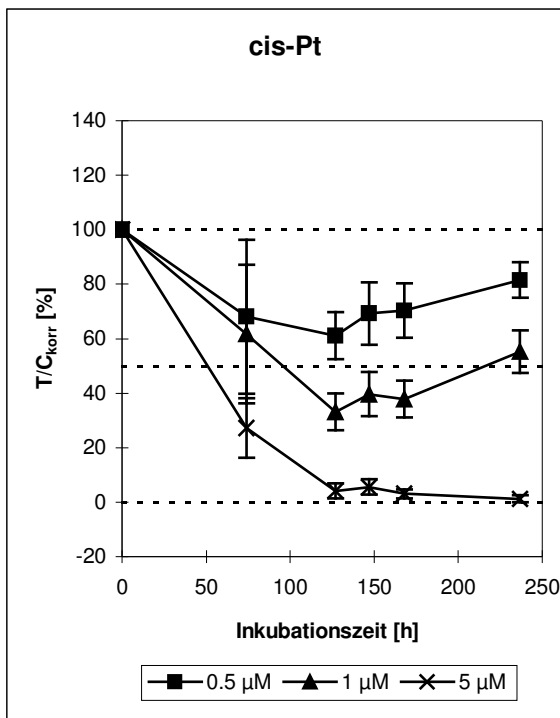


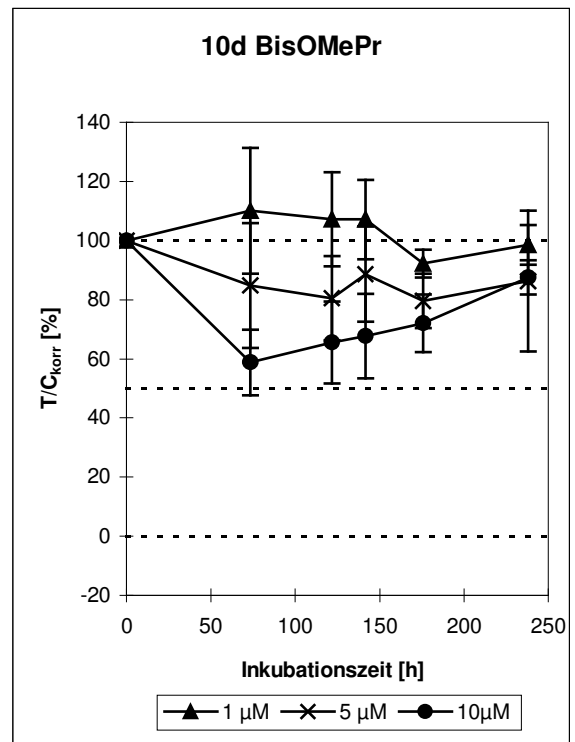
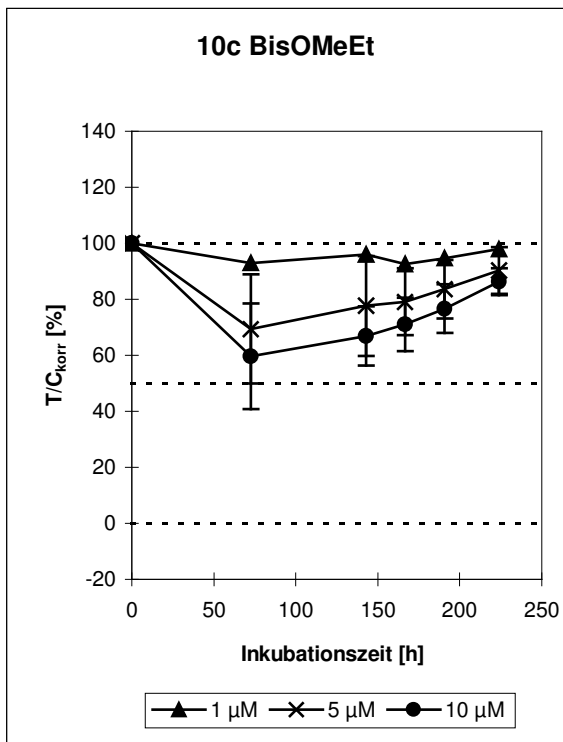
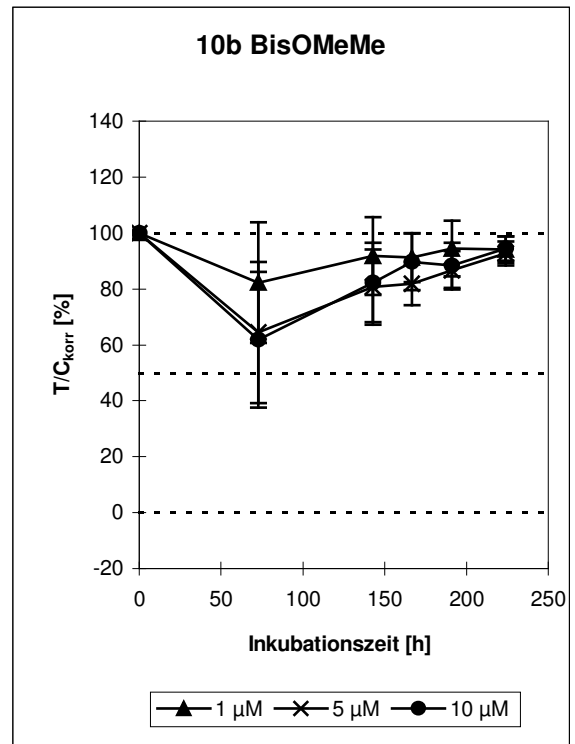
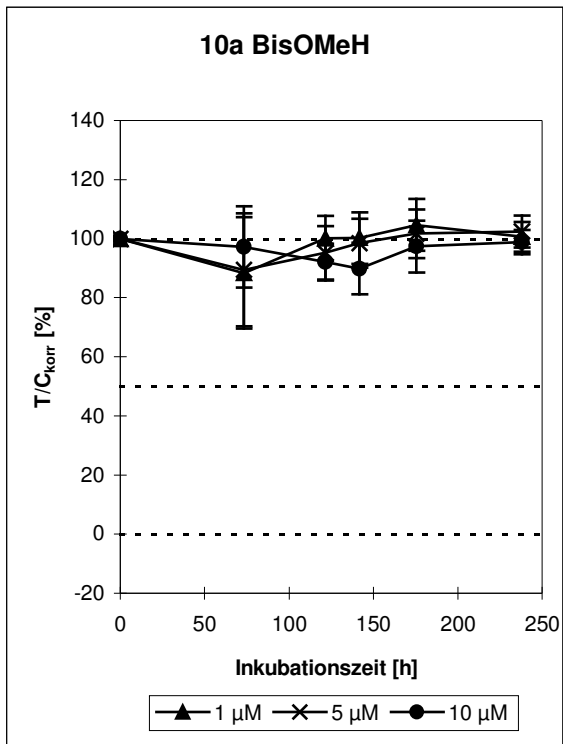
Anhang

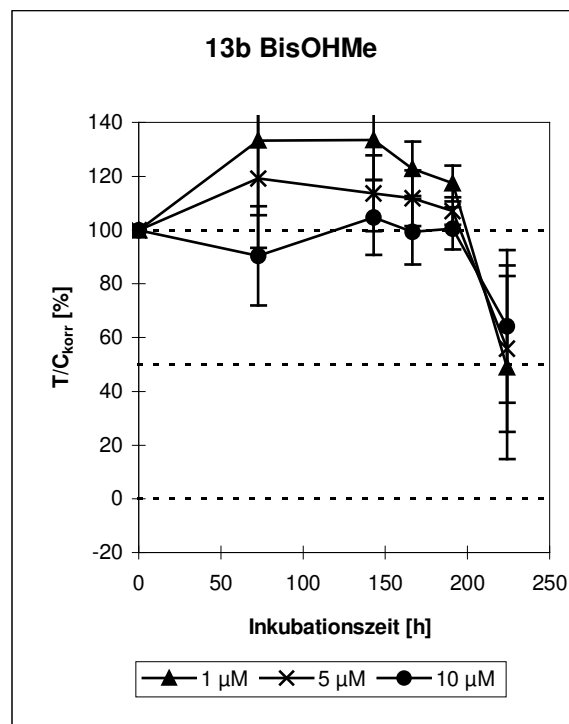
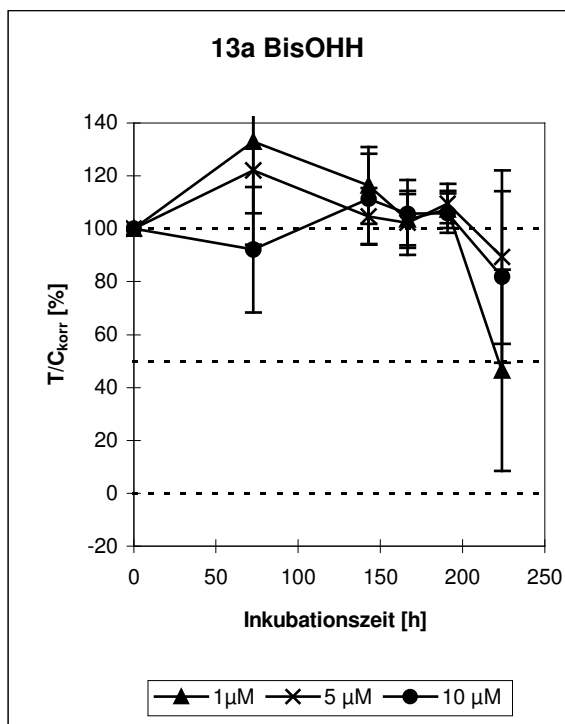
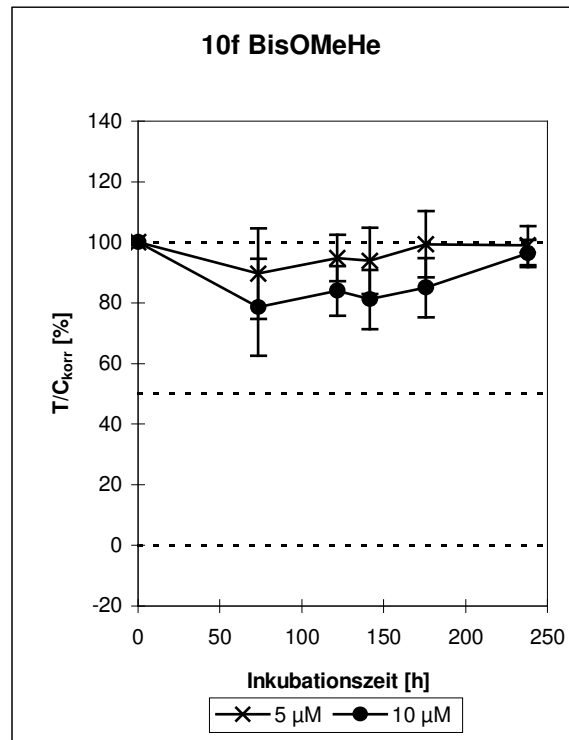
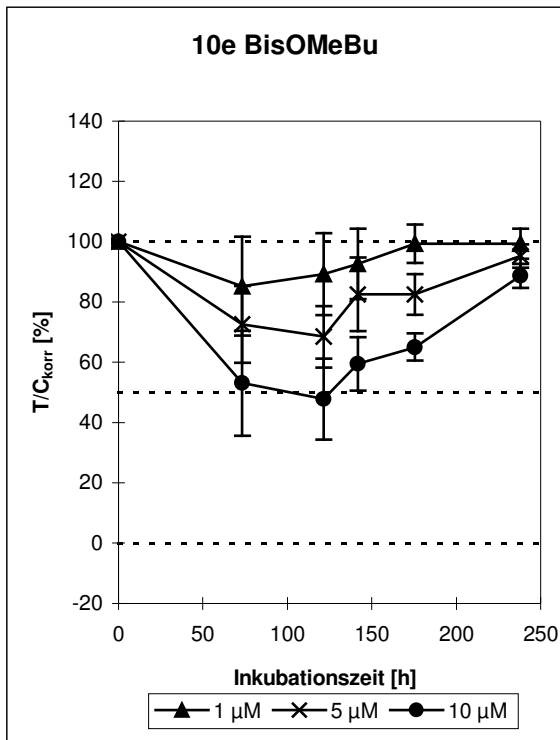
9 Anhang

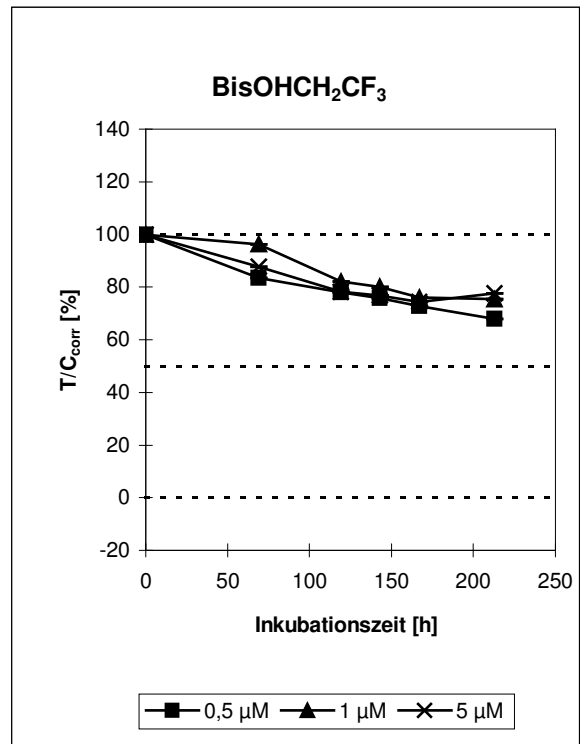
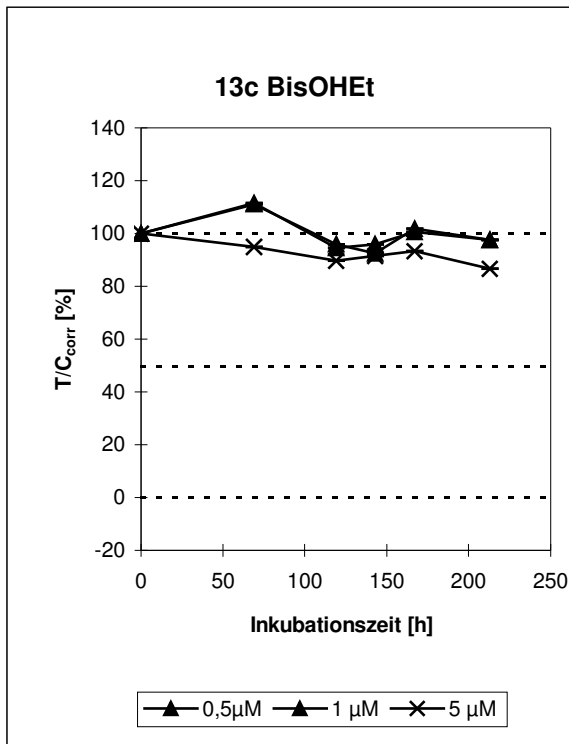
9.1 Zeit-Wirkungs-Kurven der Zytotoxizitätstest

9.1.1 Zeit-Wirkungs-Kurven der Tests an der MCF-7-Zelllinie

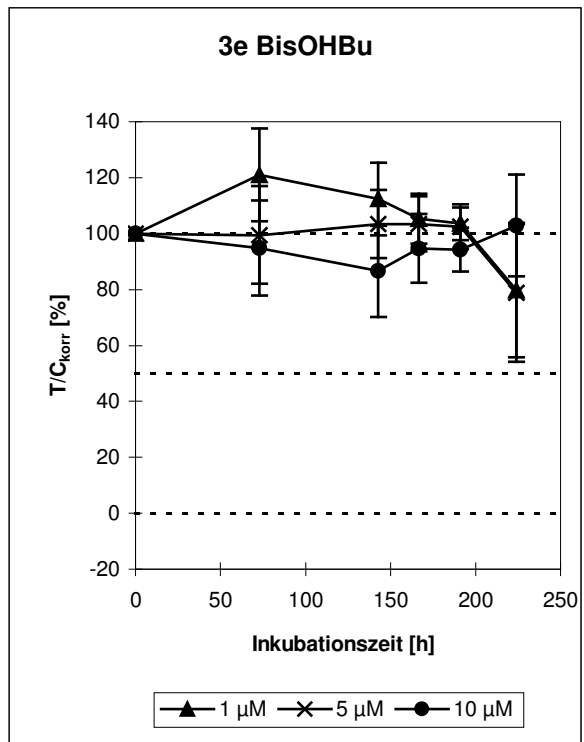
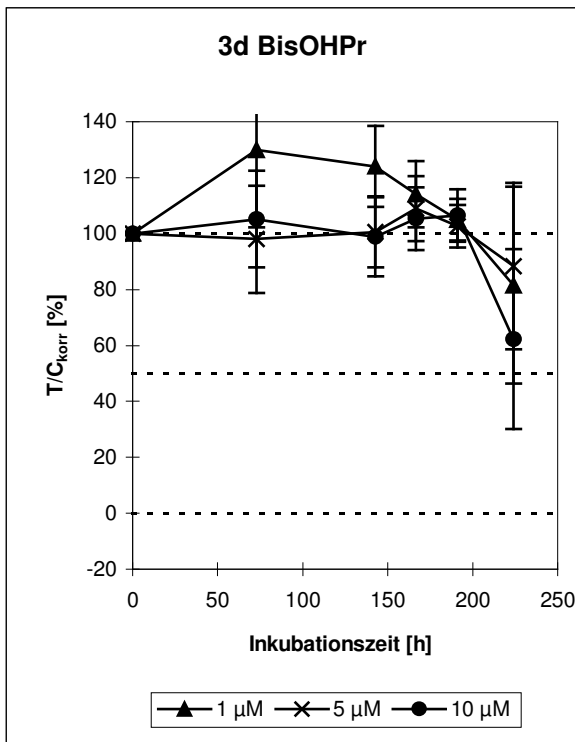


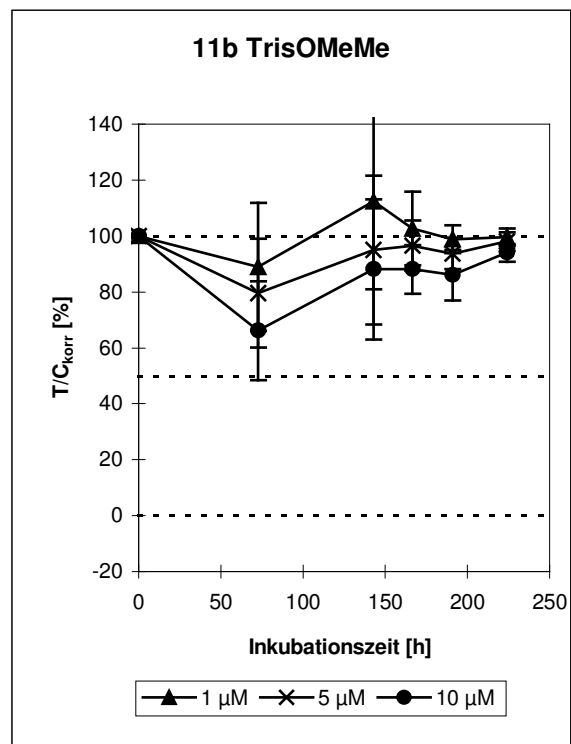
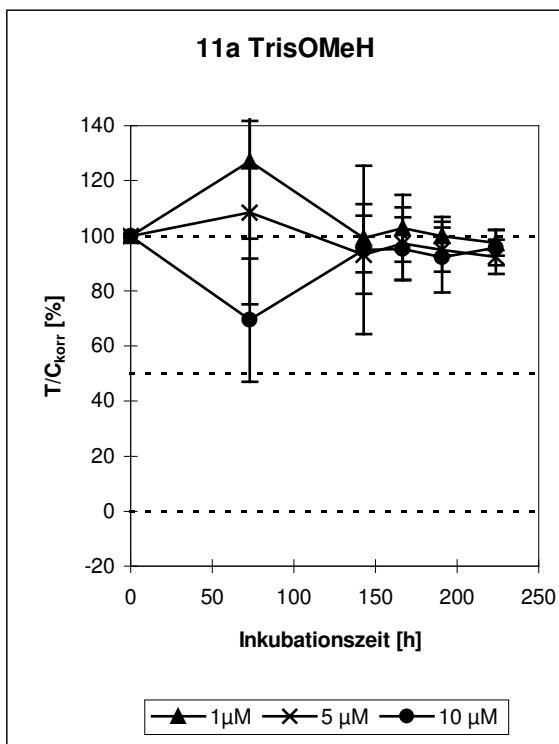
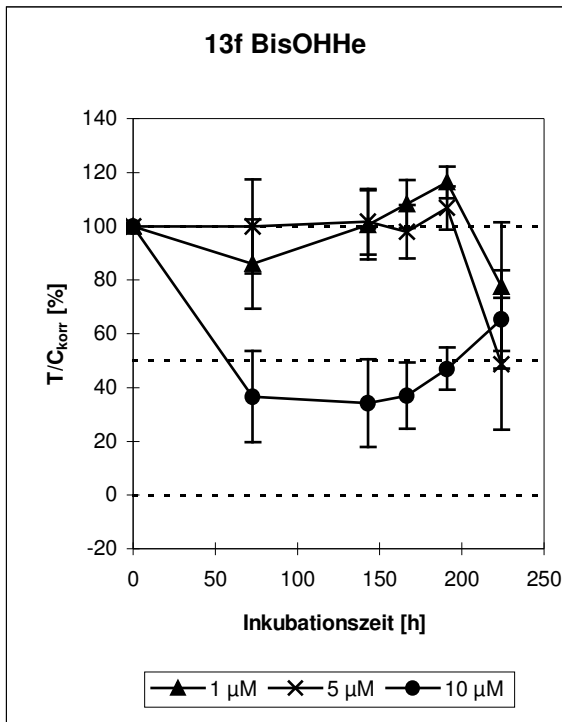


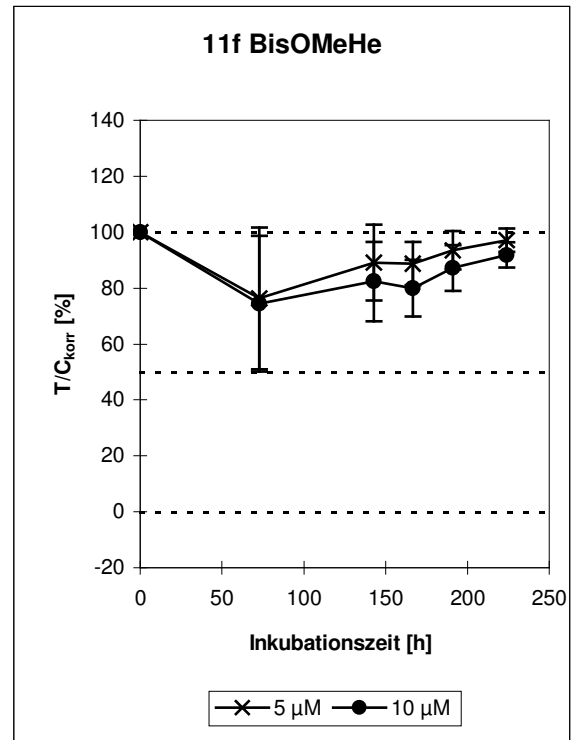
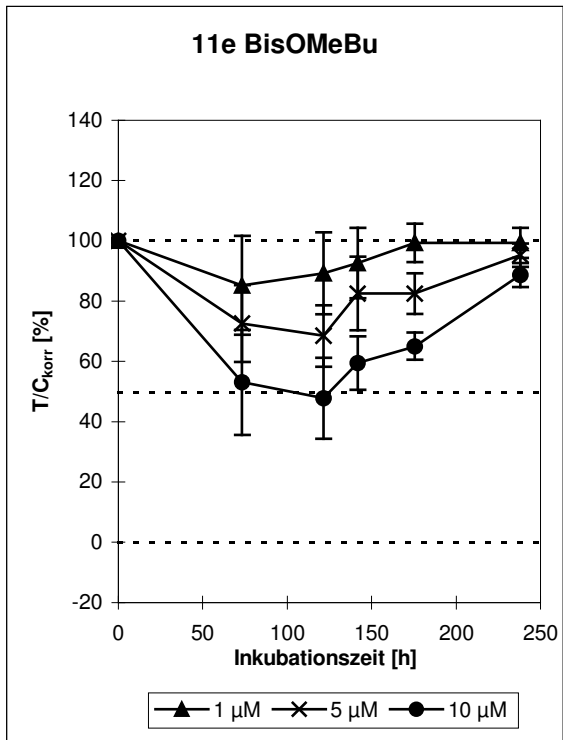
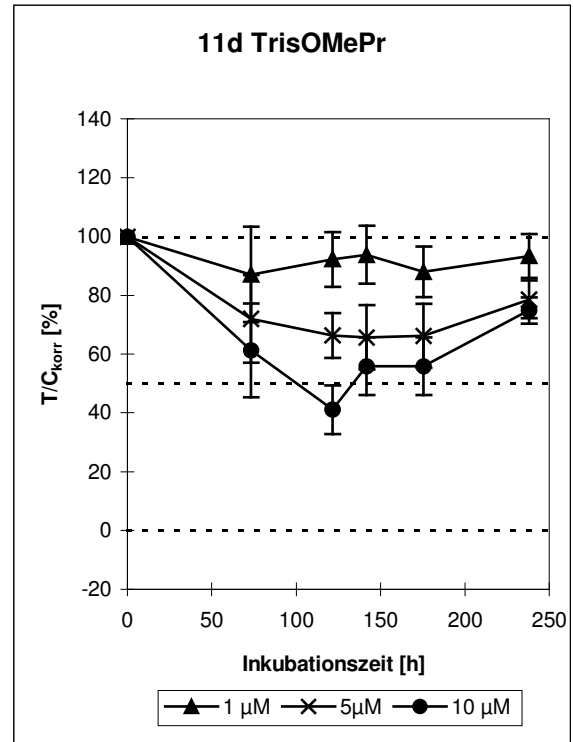
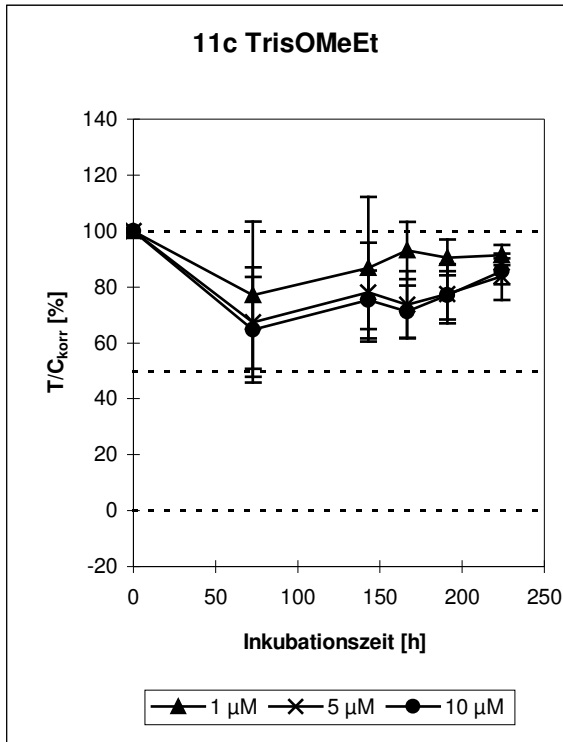


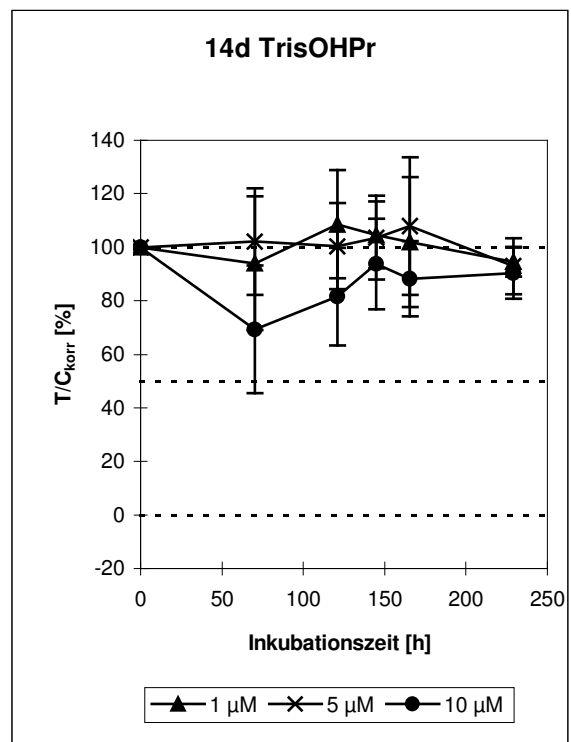
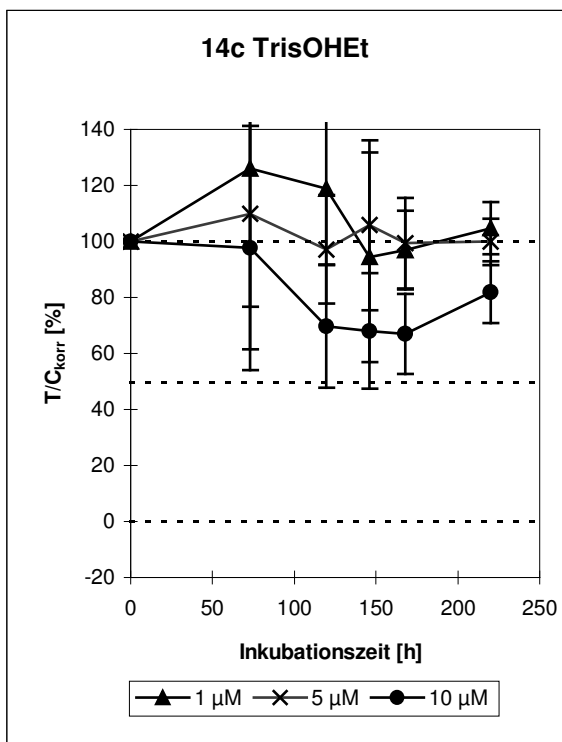
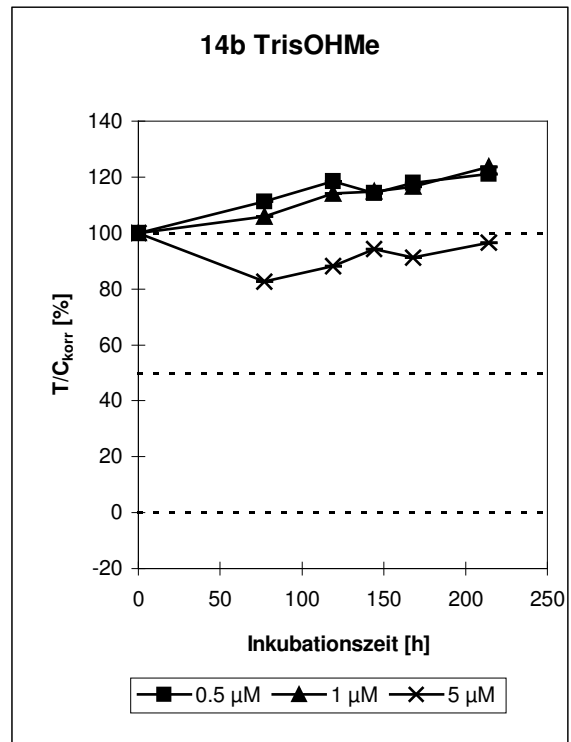
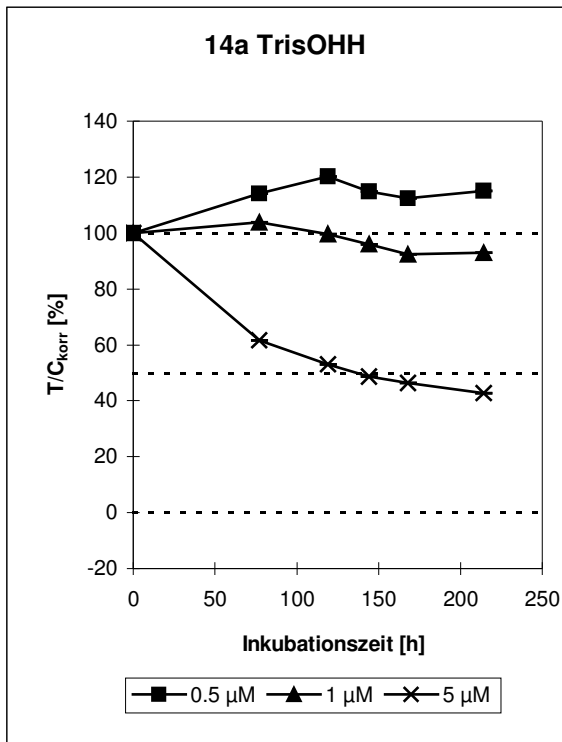


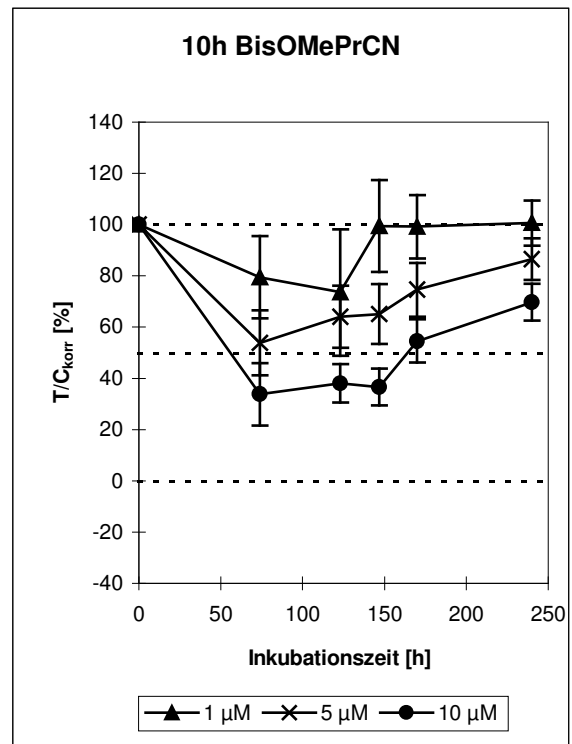
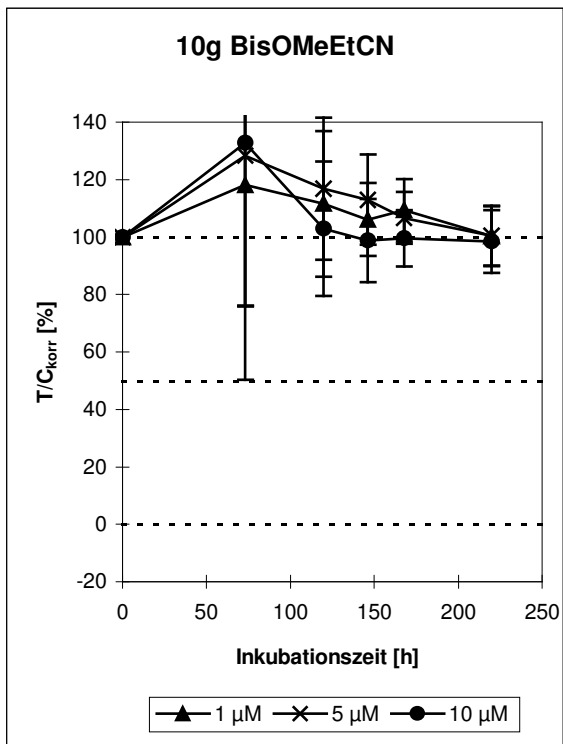
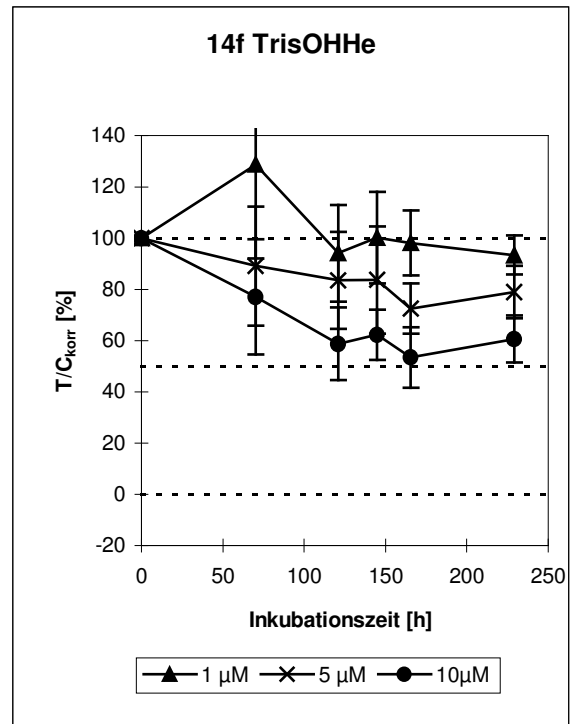
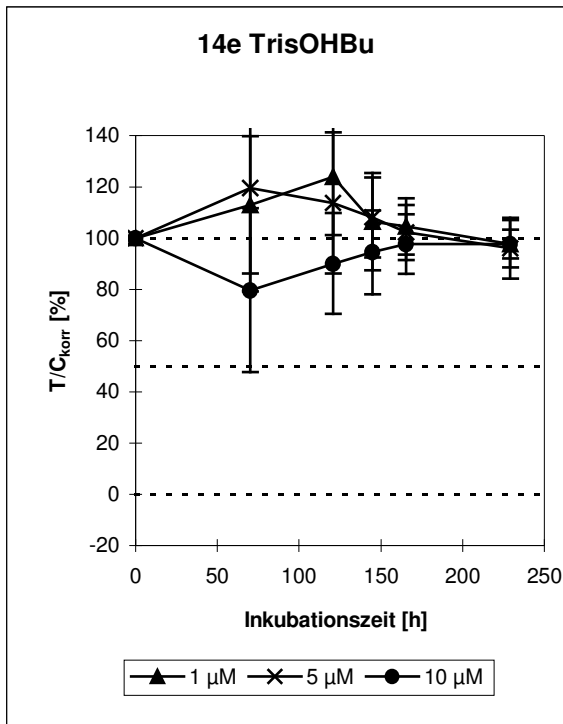
Werte wurden von Bachmann ^[149] bestimmt

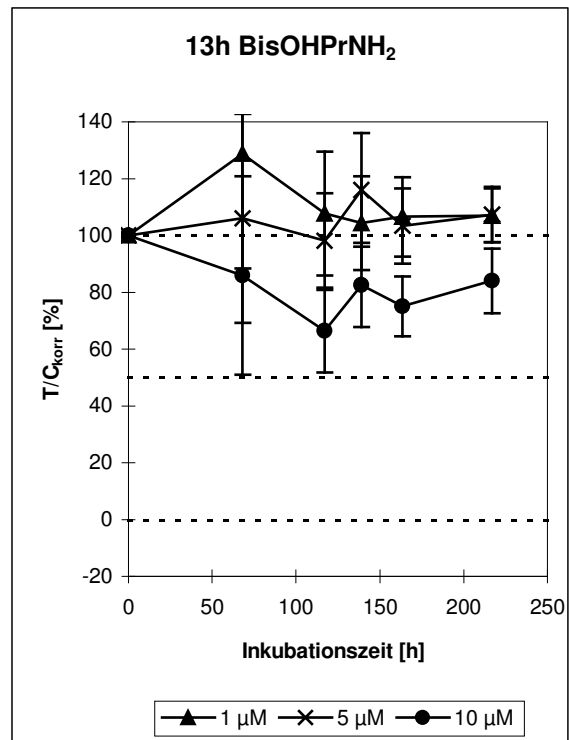
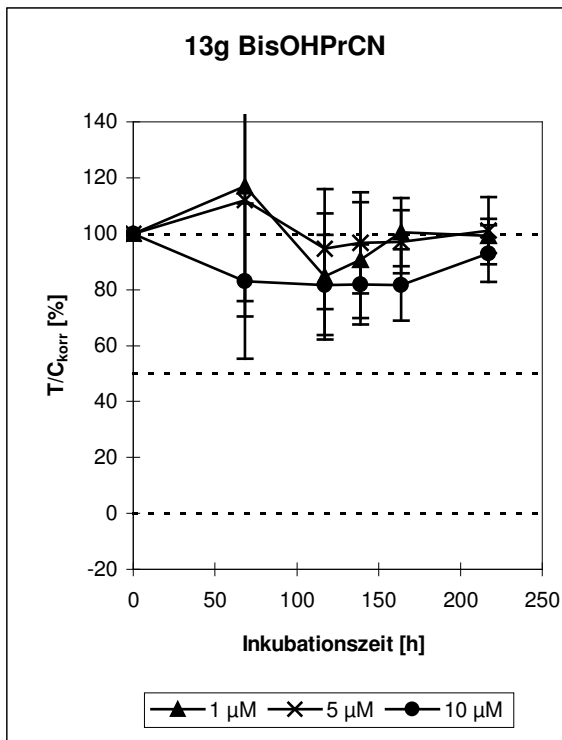
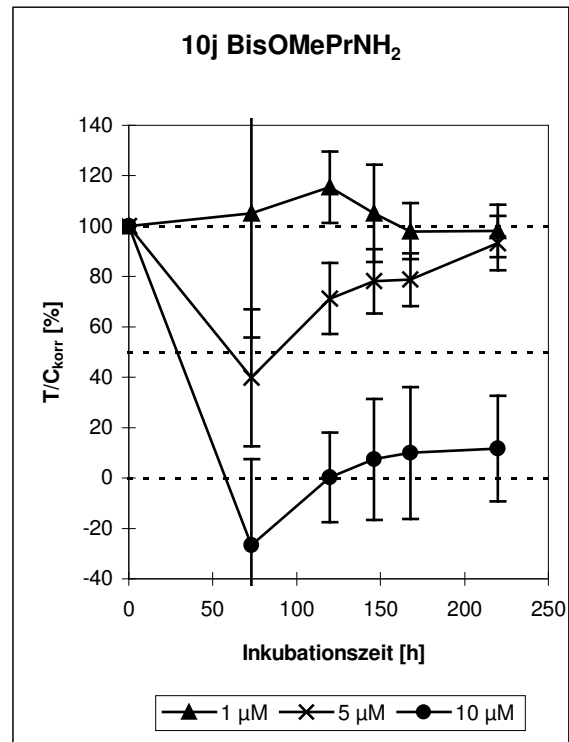
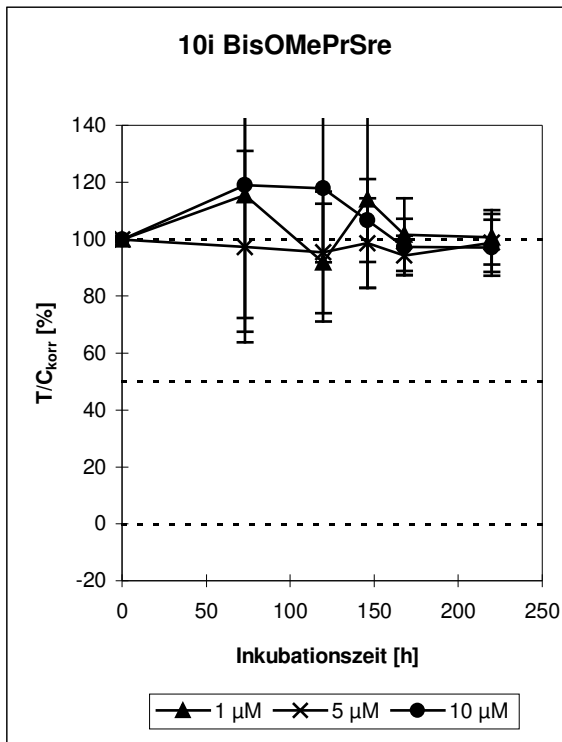


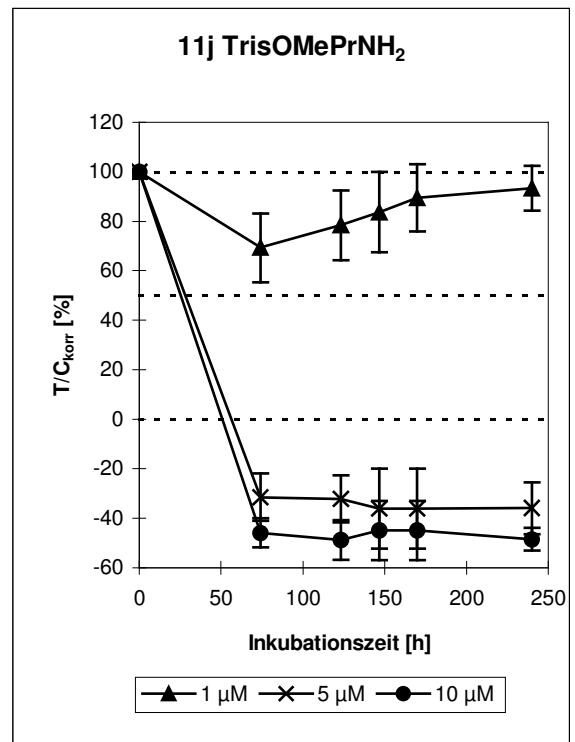
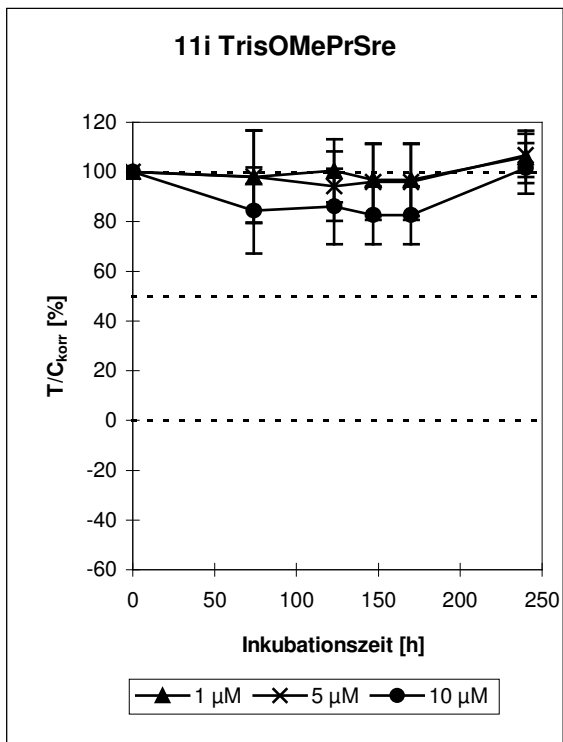
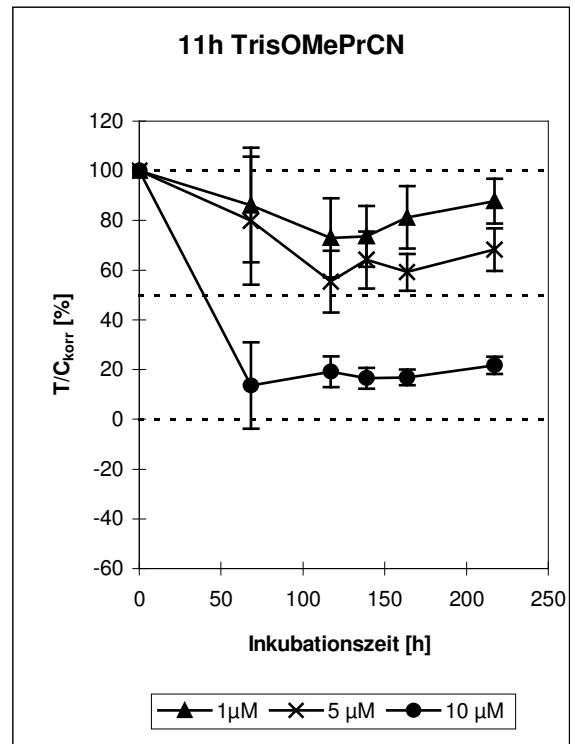
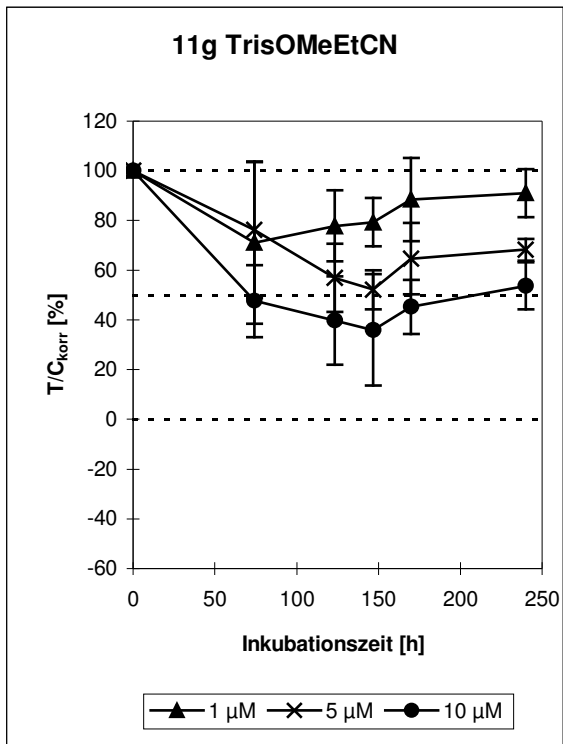


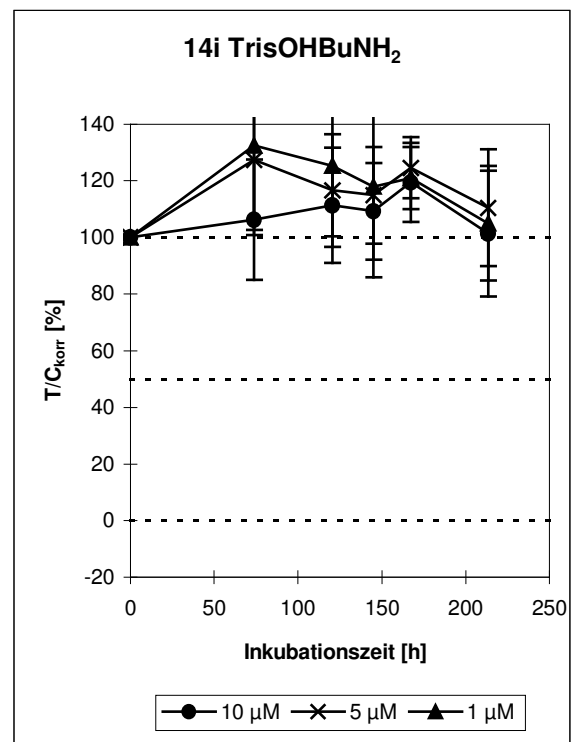
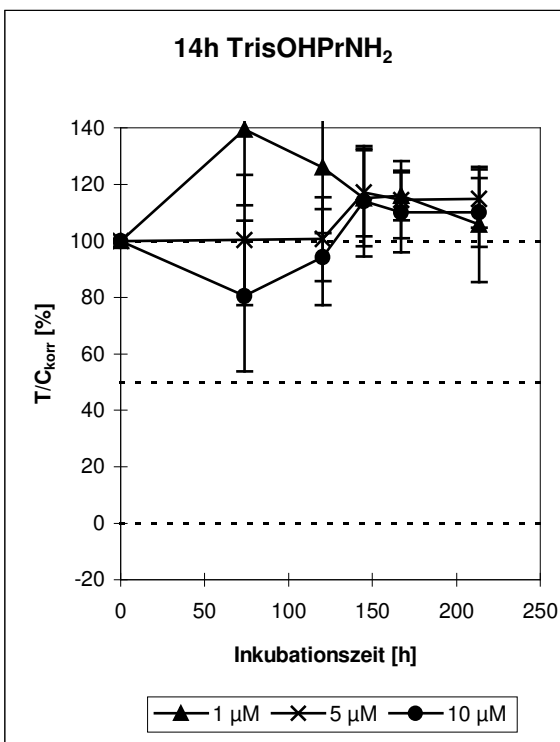
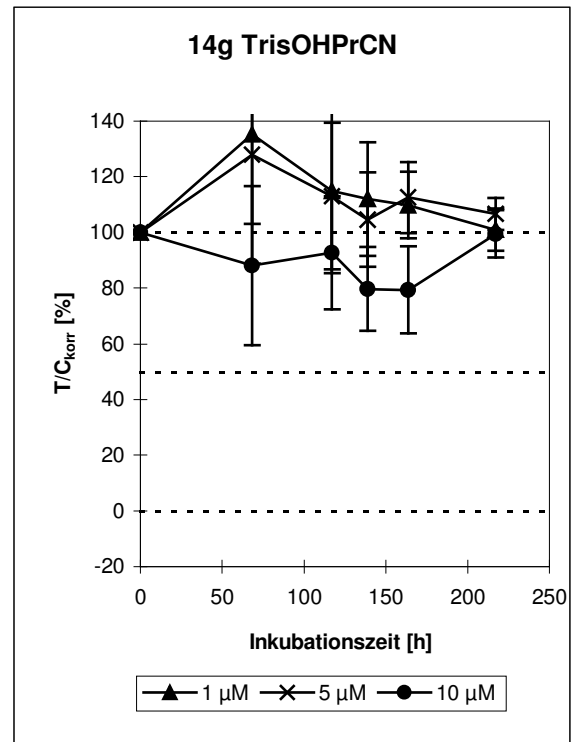
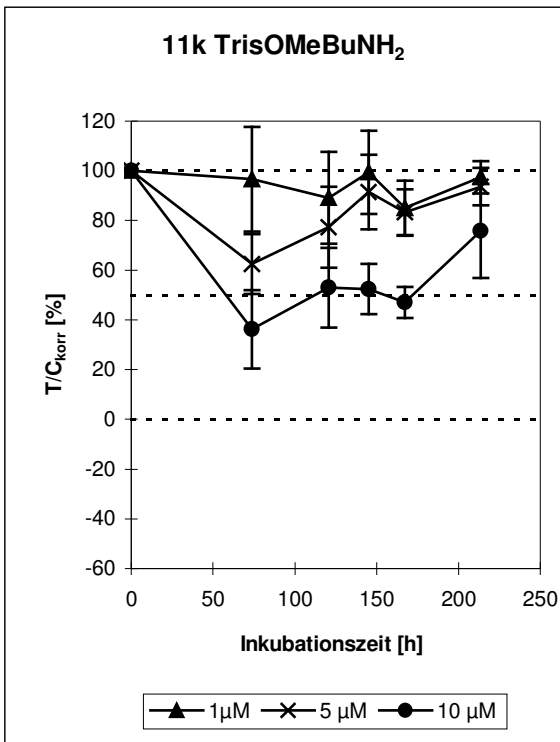




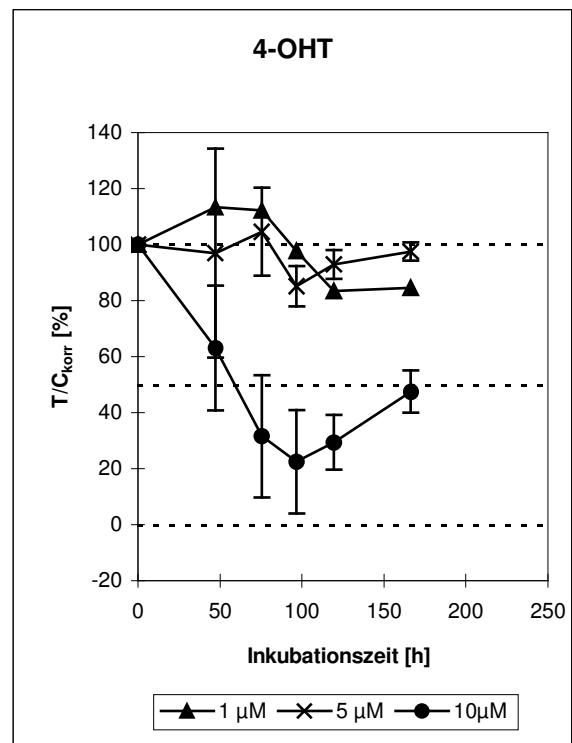
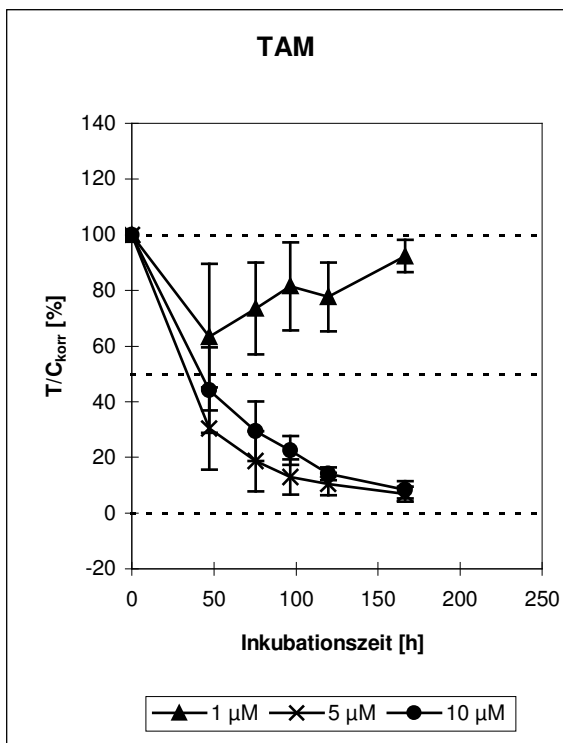
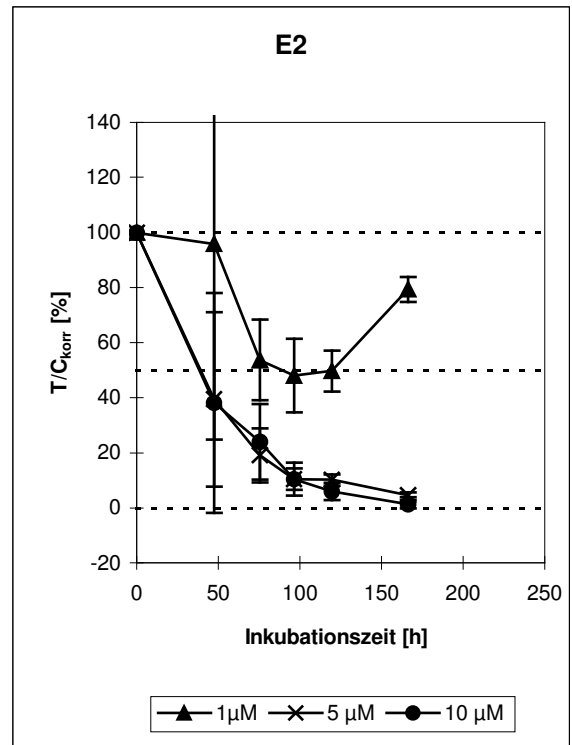
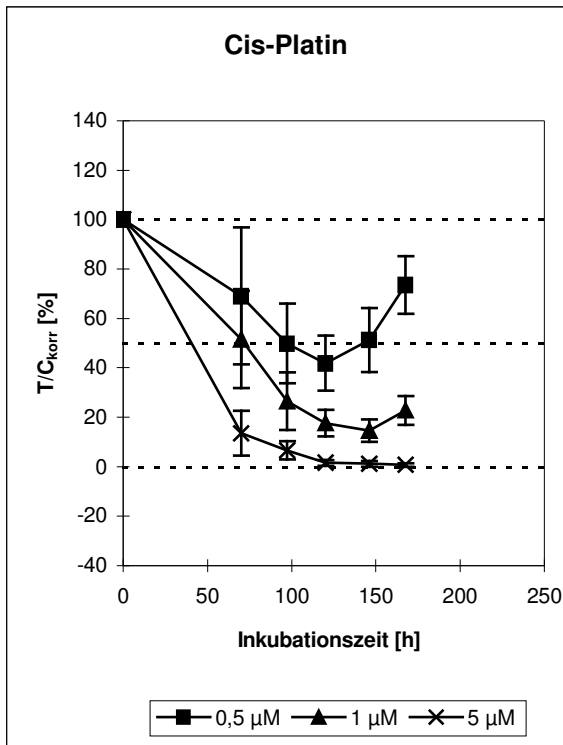


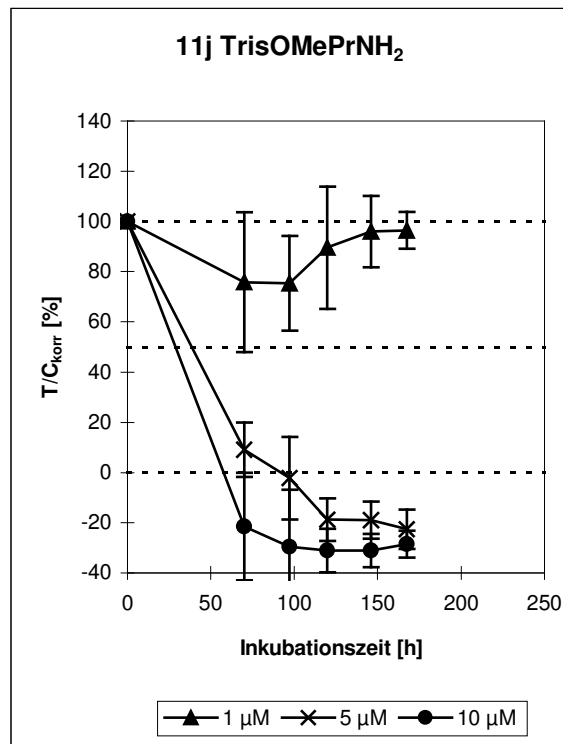
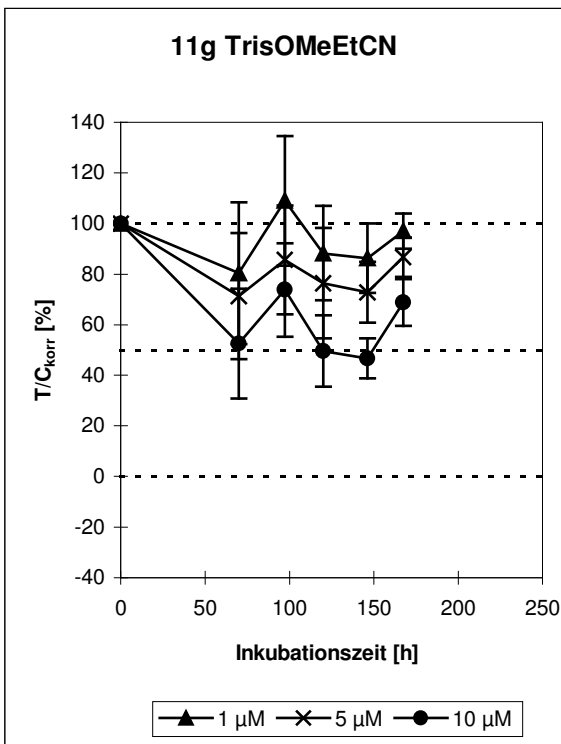
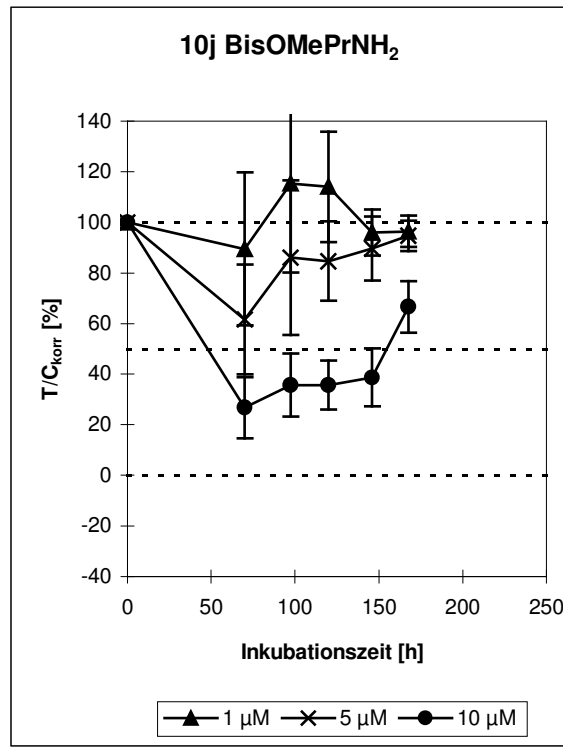
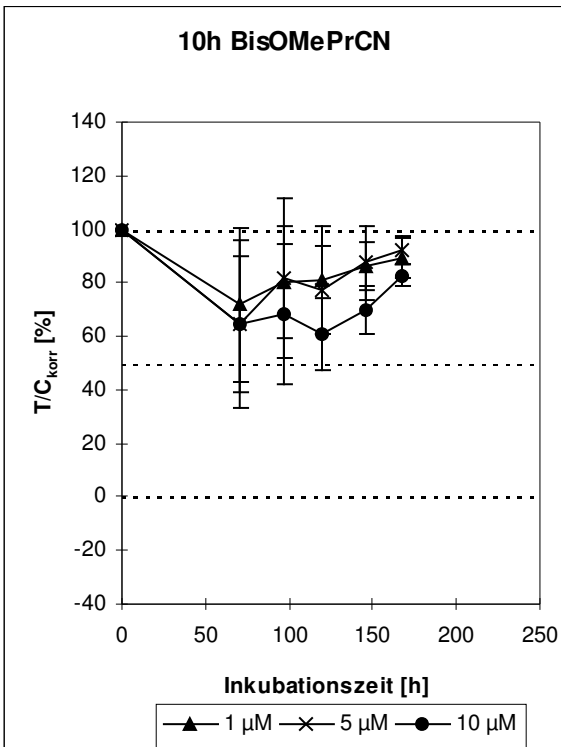




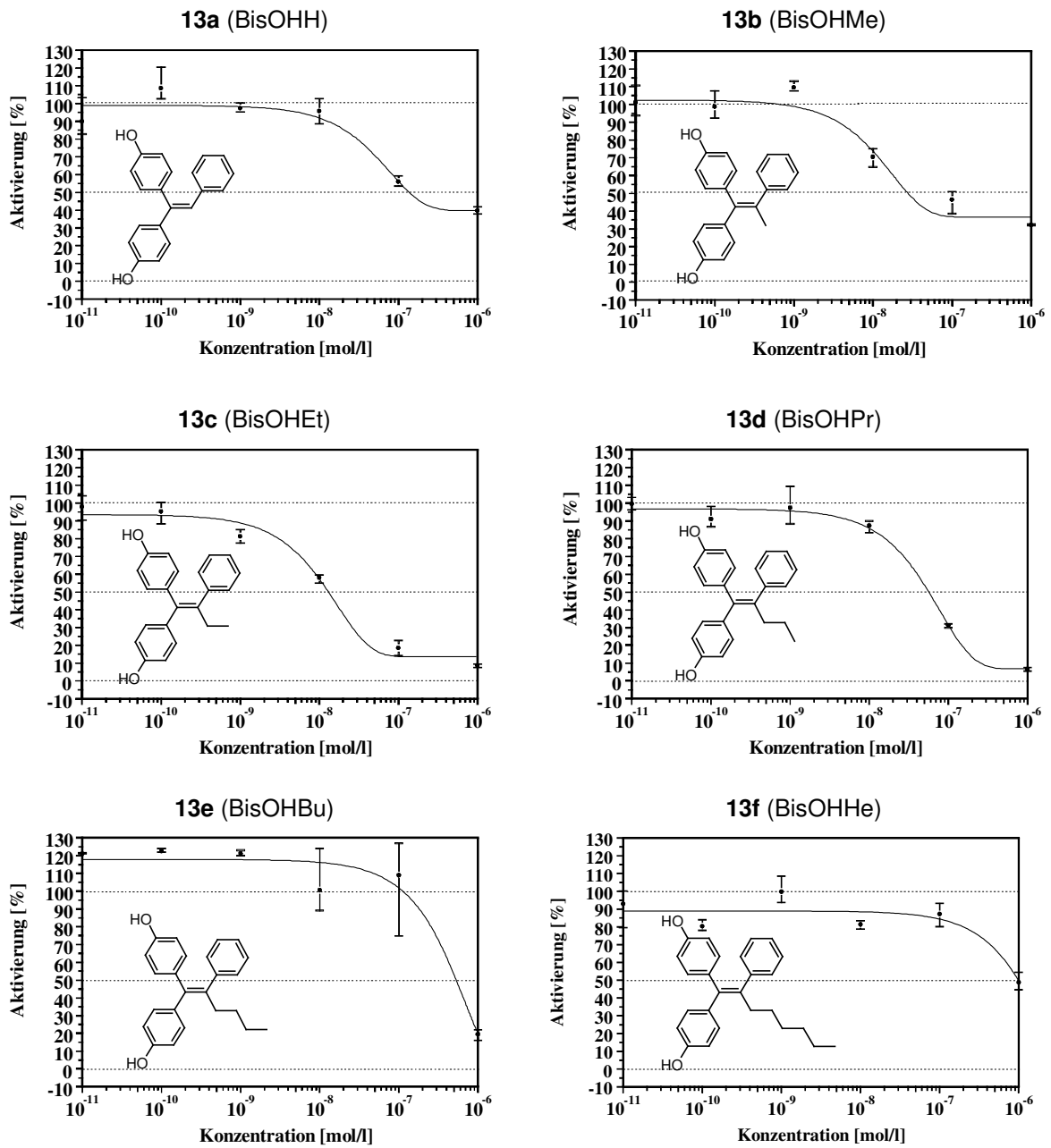


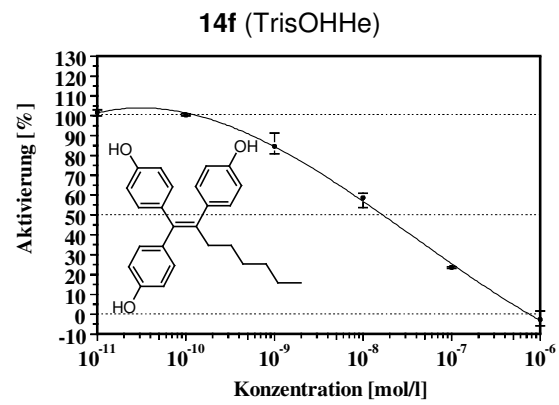
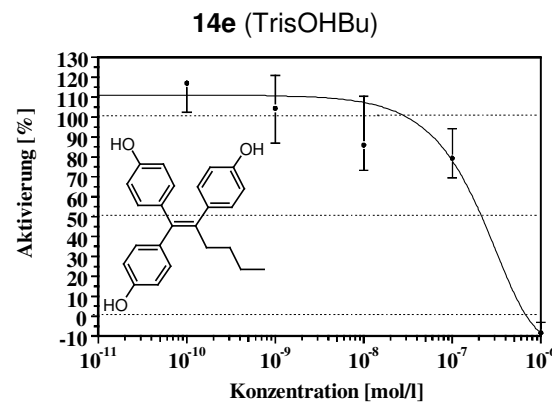
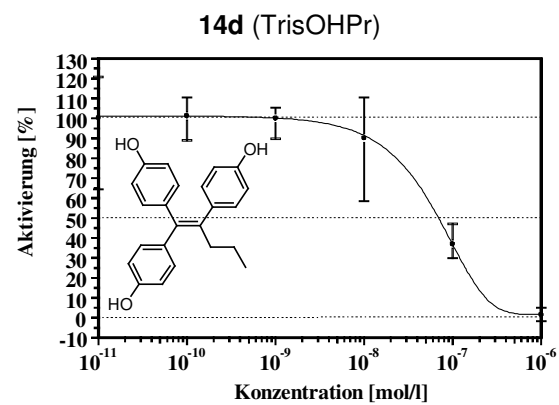
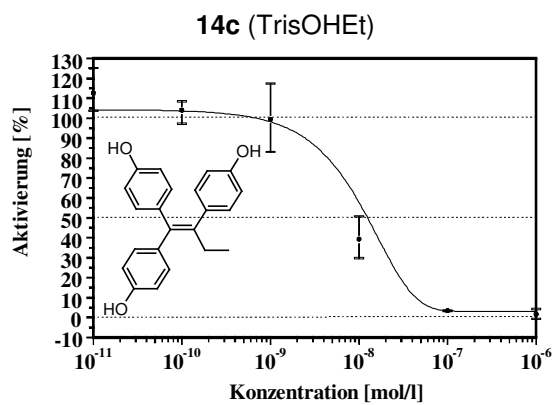
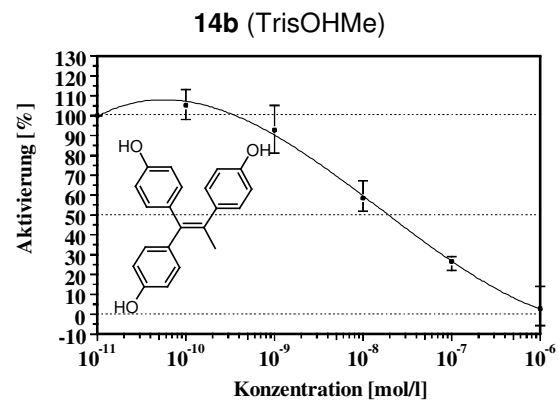
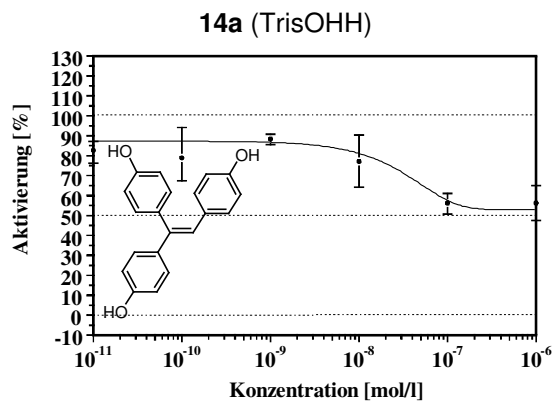
9.1.2 Zeit-Wirkungs-Kurven der Zytotoxizitätstests an der MDA-MB-231-Zelllinie

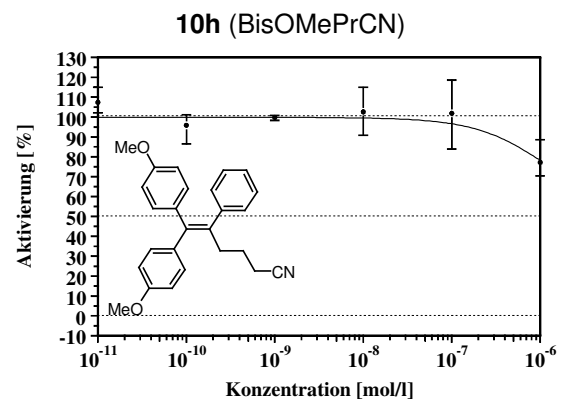
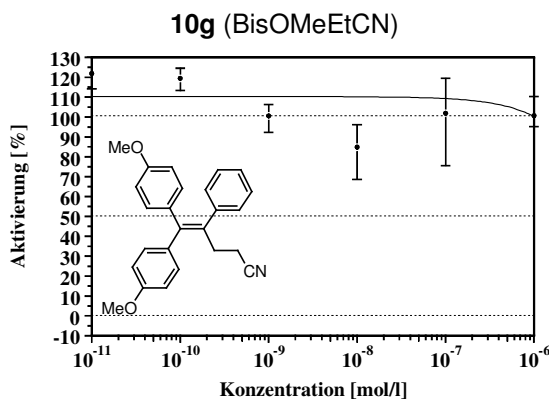
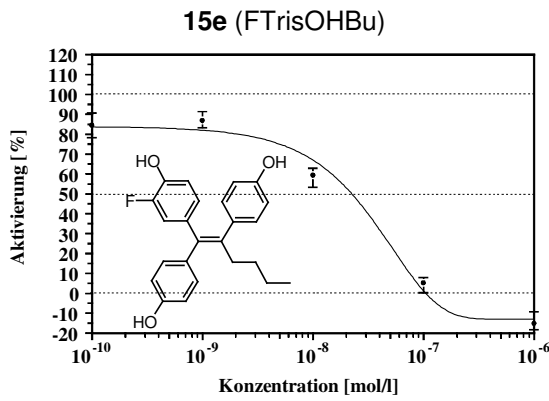
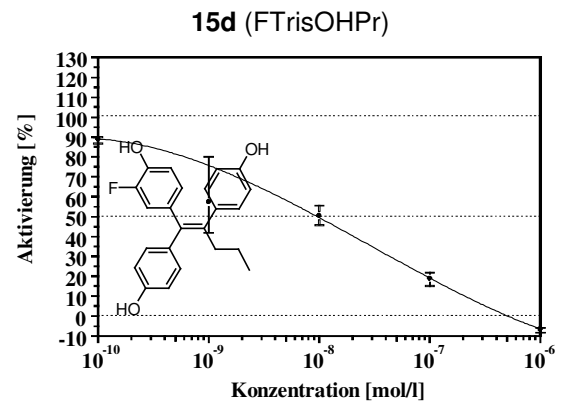
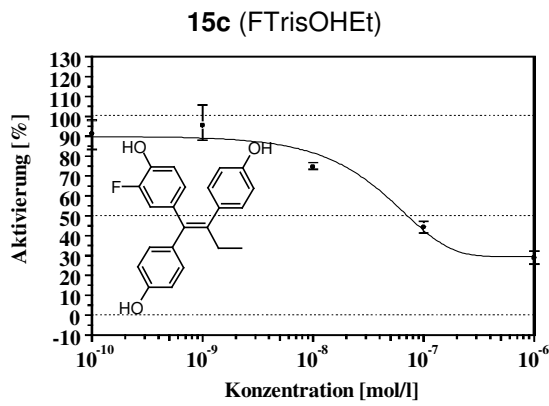
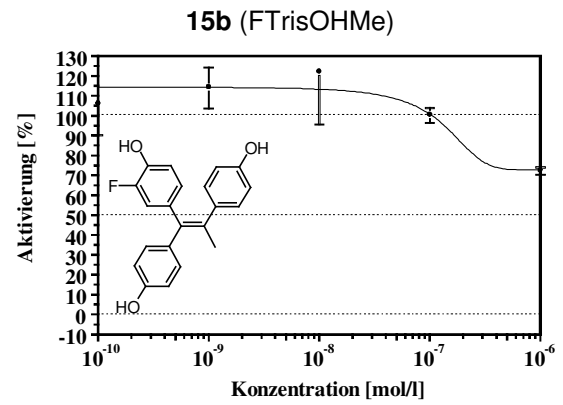
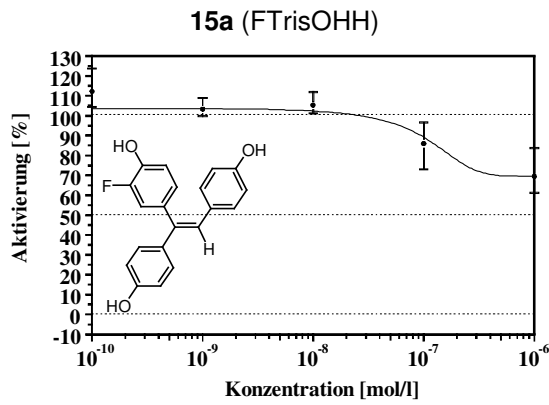


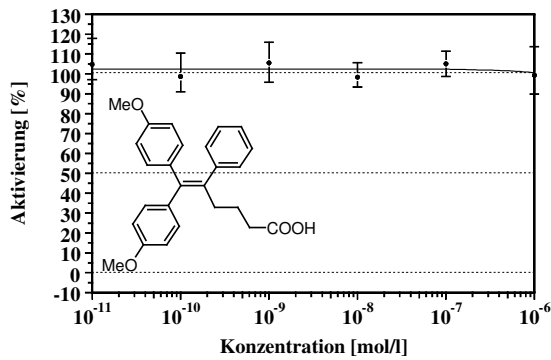
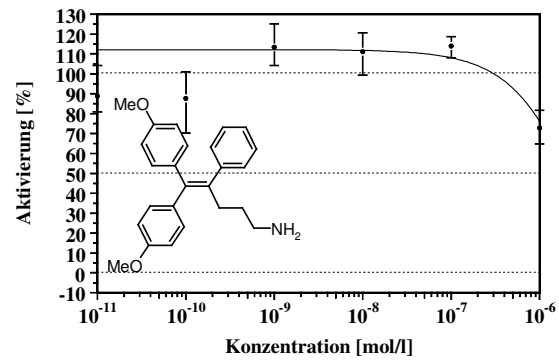
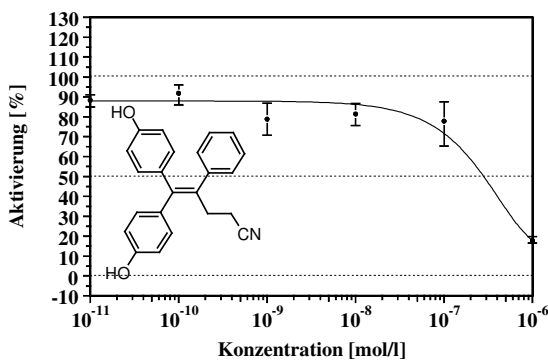
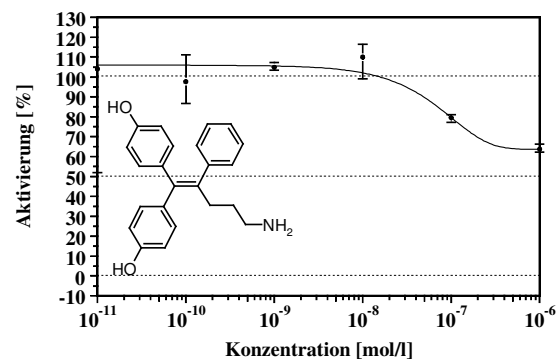
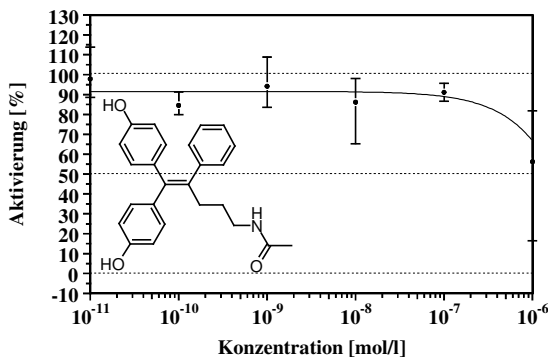
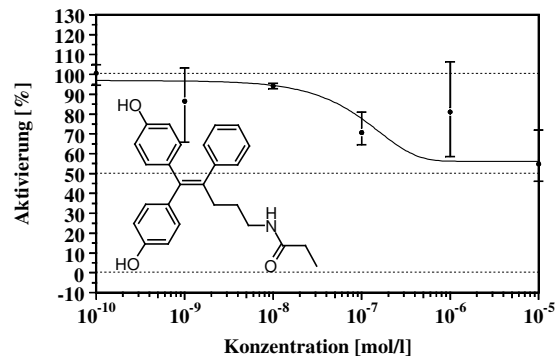
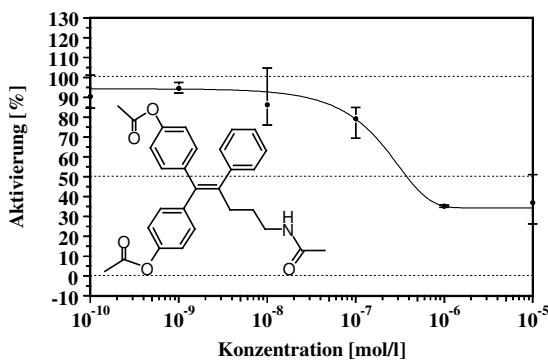


9.2 Ergebnisse der Testung auf antagonistische Wirkung im Luciferase-Assay (Konzentrations-Aktivierungs-Kurven)







10i (BisOMePrSre)**10j** (BisOMePrNH₂)**13g** (BisOHPrCN)**13h** (BisOHPrNH₂)**18a** (BisOHPrNHAc)**18b** (BisOHPrNHP)**16a****16b**